

BILAG 4

---

# Analyse

---

19. december 2017

# Indholdsfortegnelse

---

<b>Kapitel 1</b>	<b>Indledning</b>	<b>2</b>
<b>Kapitel 2</b>	<b>Det oprindelige kredsløb</b>	<b>3</b>
2.1	Hardware . . . . .	3
2.1.1	Strømforsyning . . . . .	3
2.1.2	Funktionsgenerator . . . . .	4
2.1.3	Forstærkning . . . . .	4
2.1.4	Strømgenerator . . . . .	6
2.1.5	Elektroder . . . . .	6
2.1.6	A/D konverter . . . . .	7
2.2	Software . . . . .	8
2.2.1	Waveforms . . . . .	8
2.3	Testopstillinger . . . . .	8
2.4	Konklusion . . . . .	8
<b>Kapitel 3</b>	<b>Det modificeret kredsløb</b>	<b>9</b>
3.1	Hardware del 1 - Strømgenerator . . . . .	9
3.1.1	Strømforsyning . . . . .	9
3.1.2	Funktionsgenerator . . . . .	9
3.1.3	Forstærkning . . . . .	9
3.1.4	Strømgenerator . . . . .	9
3.1.5	Elektroder . . . . .	9
3.2	Hardware del 2 - Spændingsmåler . . . . .	9
3.2.1	Strømforsyning . . . . .	9
3.2.2	Elektroder . . . . .	9
3.2.3	Forstærkning . . . . .	9
3.2.4	Antialiaseringsfilter . . . . .	9
3.2.5	A/D konverter . . . . .	9
3.3	Software . . . . .	9
3.3.1	Matlab . . . . .	9
3.4	Testopstillinger . . . . .	9
3.5	Konklusion . . . . .	9
<b>Kapitel 4</b>	<b>EMG</b>	<b>10</b>
<b>Kapitel 5</b>	<b>Konklusion</b>	<b>14</b>
<b>Litteratur</b>		<b>15</b>

# Indledning

# 1

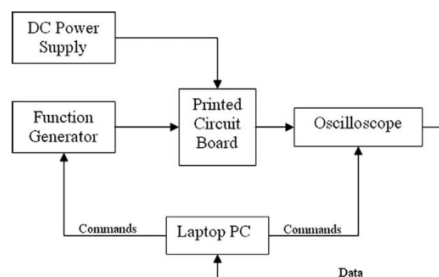
---

I afsnittet analyse vil der blive beskrevet de overvejelser om mulige løsninger i projektet og hvilke der har valgt at gå videre og begrundelse herom. Der er beskrevet og diskuteret valget af hardware- og software komponenter som er kritiske for systemet. Det udleveret diagram som kan ses på figur ?? er en simple BI måler som består af en instrumenterings forstærker, en strømgenerator og udgang til elektroder. Kredsløbet skal tilføres et signal fra en funktionsgenerator, som resulterer i en konstant genereret strøm over elektroderne. Da man nu har en kendte strøm og måler spændingsfaldet over elektroderne, kan man ved brug af ohms lov ( $\frac{U}{I} = R$ ) beregne og vise impedansen for et synk.

# Det oprindelige kredsløb 2

## 2.1 Hardware

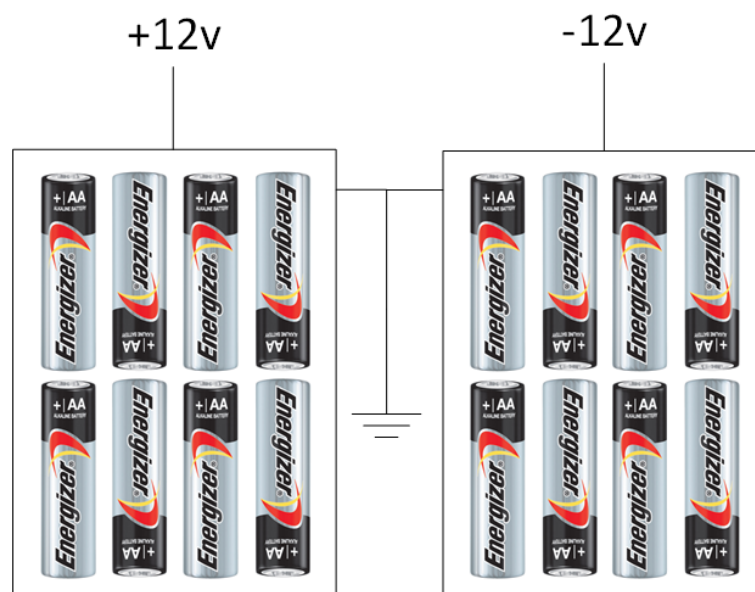
Det oprindelige kredsløb var bygget som vist på figur 2.1 i simuleringssværtøjet Multisim og efterfølgende på et fumblebræt.



Figur 2.1: Blokdiagram over det oprindelige kredsløb[1]

### 2.1.1 Strømforsyning

I artiklen [1] blev der brugt en  $\pm 12\text{V}$  strømforsyning tilsluttet til netforsyningen. Vi valgte at undgå netforsyningen, ved at sætte otte AA batterier i serie, både for  $+12\text{V}$  og  $-12\text{V}$ .

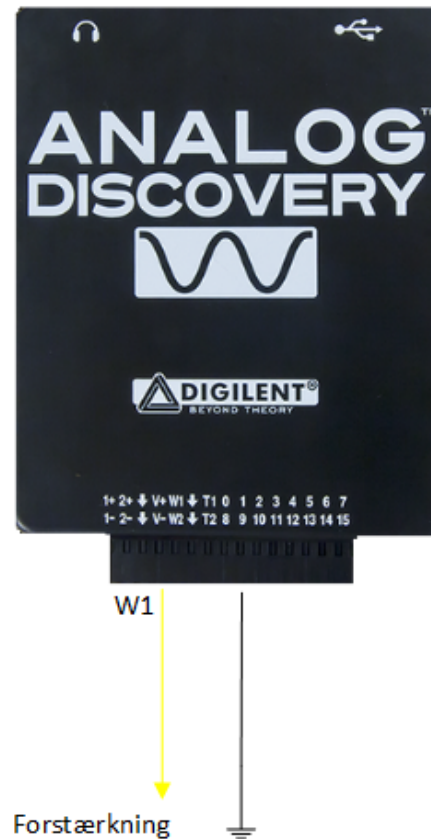


Figur 2.2:  $\pm 12\text{V}$  batteriforsyning

## 2.1. Hardware

### 2.1.2 Funktionsgenerator

Analog Discovery blev brugt som funktionsgenerator, da denne er nem og hurtig til at generere signaler. Den ønskede frekvens på 50 kHz blev brugt, da det er en brugt frekvens når der skal måles et synk[2]. Amplituden blev sat til 2V.

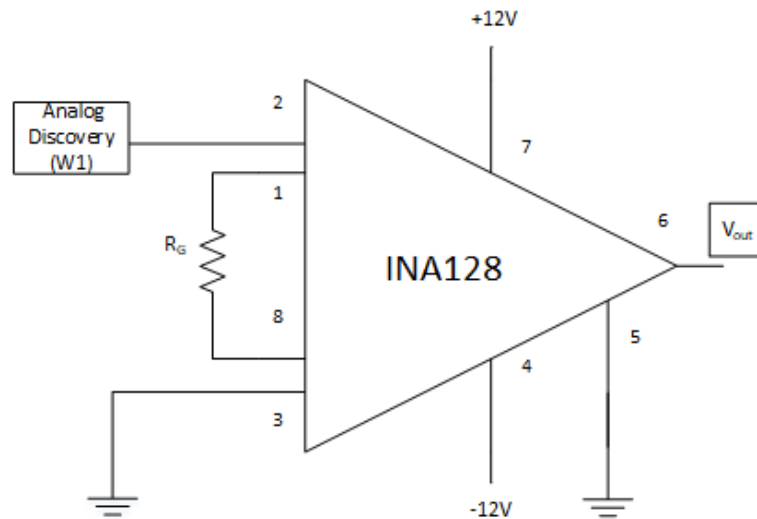


*Figur 2.3: Analog discovery som funktionsgenerator*

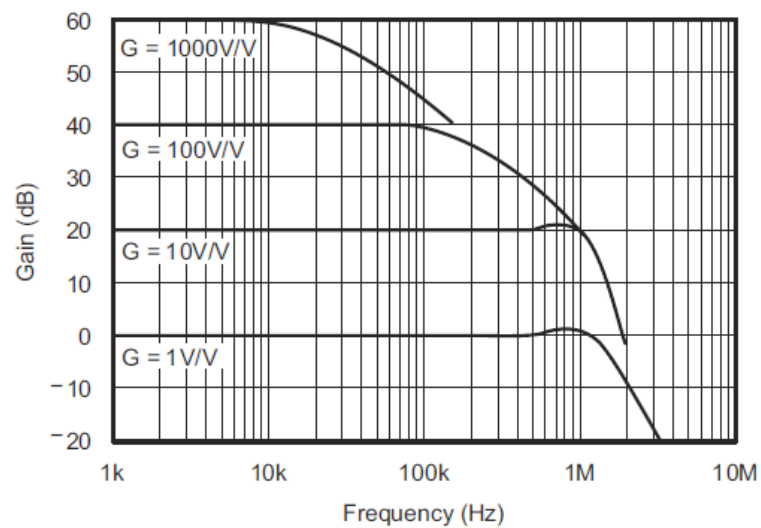
### 2.1.3 Forstærkning

Signalet fra Analog Discovery går ind til forstærkeren INA128. Den tilhørende gain modstand på 51kohm blev også brugt, da det giver en fordobling i forstærkning. På udgangen af INA128 er der nu 4V.

## 2.1. Hardware



Figur 2.4: Diagram over INA128

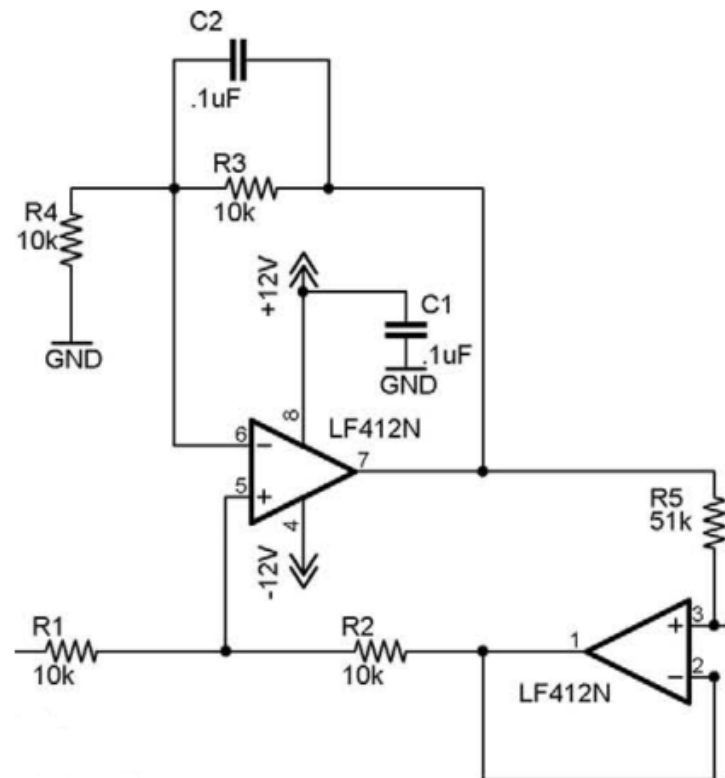


Figur 2.5: Oversigt over hvilke frekvenser INA128 kan arbejde indenfor ved bestemte gains

Ved en gain på 2 kan der aflæses i figur 2.5, at båndbredden er over 100kHz, hvilket er indenfor den ønskede frekvens på 50kHz.

## 2.1. Hardware

### 2.1.4 Strømgenerator



Figur 2.6: Diagram over VCCS. Den faste spænding på 4V til VCCS giver en fast strøm på 100uA

Spændningen kommer ind ved modstand R1 og strømmen ud på ben 3 på LF412N. Kombinationen af bestemt ohmsk modstand størrelse og lav % tolerance modstand giver den faste strøm. Her er der brugt 1% modstande. Ved at ændre modstand R5, kan en ønsket strøm beregnes[1]:

$$I_{tissue} = 2 * \frac{V_{in}}{R_5}$$

### 2.1.5 Elektroder



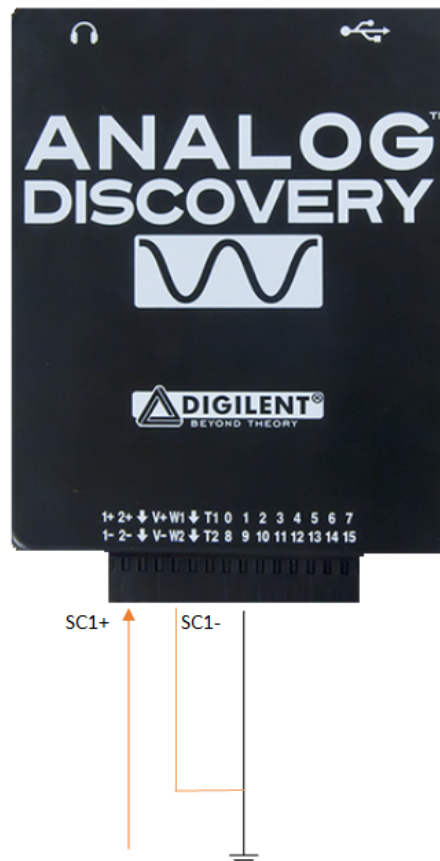
Figur 2.7: Ved målingerne er der blevet brugt EKG elektroder (venstre) og EMG elektroder (højre).

## 2.1. Hardware

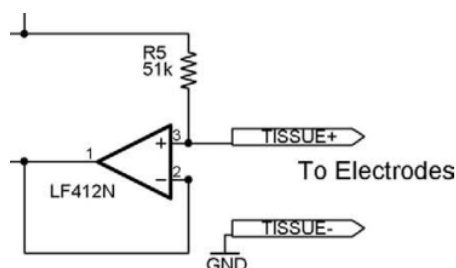
De forskellige elektroder kan ses i figur 2.7. EKG elektroderne er nemme at påsætte og indeholder meget gel som giver optimal kontakt, men fysisk fylder de meget. EMG elektroderne har mindre gel, men fylder næsten ingen ting.

### 2.1.6 A/D konverter

Det analogt signal er blevet samlet ved brug af Analog Discovery som målte over elektroderne. Der blev også monteret et multimeter i serie for at aflæse den konstante strøm.



Figur 2.8: Scope channel 1 positiv blev brugt til at måle spændingen over elektroderne



Figur 2.9: Der blev målt over elektroderne mellem ben 3 på LF412N og ground.



2.2. Software

## **2.2 Software**

### **2.2.1 Waveforms**

## **2.3 Testopstillinger**

## **2.4 Konklusion**

# Det modificeret kredsløb 3

---

## 3.1 Hardware del 1 - Strømgenerator

### 3.1.1 Strømforsyning

### 3.1.2 Funktionsgenerator

### 3.1.3 Forstærkning

### 3.1.4 Strømgenerator

### 3.1.5 Elektroder

## 3.2 Hardware del 2 - Spændingsmåler

### 3.2.1 Strømforsyning

### 3.2.2 Elektroder

### 3.2.3 Forstærkning

### 3.2.4 Antialiaseringsfilter

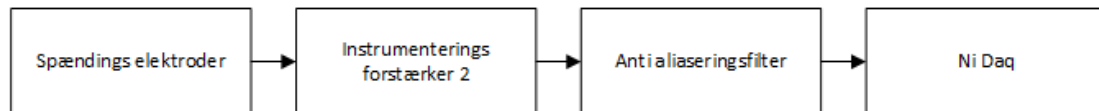
### 3.2.5 A/D konverter

## 3.3 Software

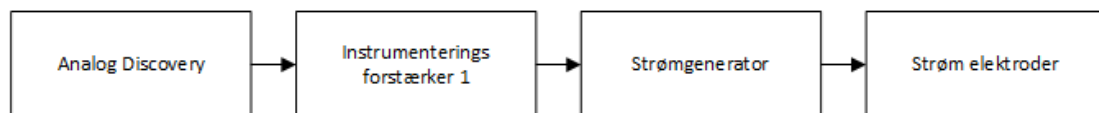
### 3.3.1 Matlab

## 3.4 Testopstillinger

## 3.5 Konklusion



Figur 4.1: Bioimpedans ind



Figur 4.2: Bioimpedans ud

## Instrumenterings forstærker 1

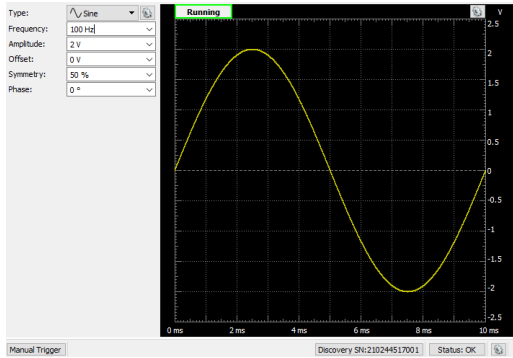
I det oprindelige design af BI konstateret vi at det var lavet lavet til at måle BI'er på skalpen og ikke over svælget. Derfor valgte vi at instrumenterings forstærkeren fik et større signal ind fra Analog Discovery på 2V og 50kHz. I det hele taget undrede vi over artiklens valg af brug af instrumenterings forstærker i starten af kredsløbet, da den ikke er et must for at realisere kredsløbet. Men dens eneste formål var at nedbringe common-mode støj fra funktions generatoren, så vi valgte at beholde denne da vi også vil undgå så meget støj som muligt videre i kredsløbet. Gain var oprindeligt sat til 51 Kohm hvilket giver det dobbelte af hvad instrumenterings forstærkeren tilføje. I diagrammet på figur ?? kan det ses at instrumenterings forstærkeren bliver forsynet med +12/-12 V, men der er her valgt at -12 V skal direkte til ground, hvilket har resulteret i at instrumenterings forstærkeren ikke fungerer korrekt, så der er den i stedet forsynet med -12 V og ikke ground.

## Strømgenerator

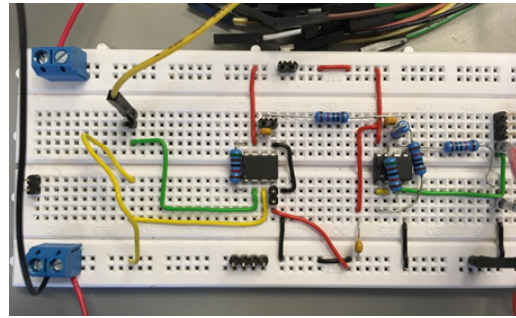
Det forstærket signal som kommer fra udgangen på instrumenterings forstærkeren løber over til strømgeneratoren. Denne strømgenerator er en Howland bridge. Sammensætningen af modstandene er vigtige og deres tolerance skal være lav for at få en korrekt og konstant strøm. For at justerer strømmen kan R5 udskiftes i kredsløbet. For at få en konstant strøm omkring ca. 500 uA, er modstanden ændret fra 51 Kohm til 2 Kohm.

## Det oprindelige kredsløb

Først bygges det oprindelige kredsløb som det er opgivet og der bliver foretaget en no load test, for at se om det stemmer overens med figuren fra artiklen.



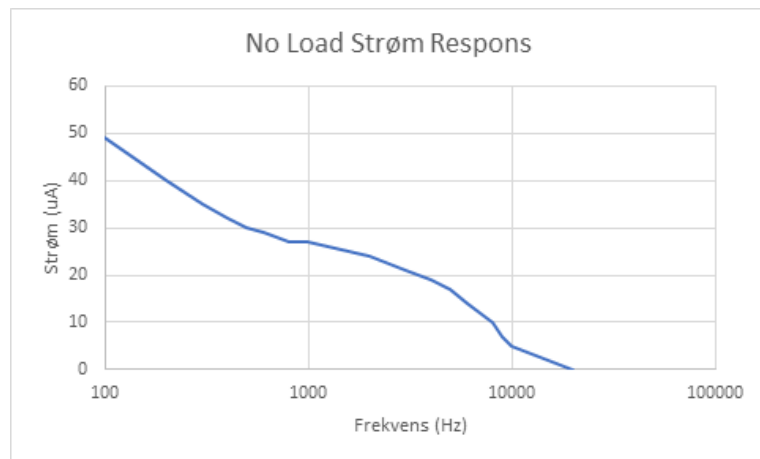
Figur 4.3: A figure



Figur 4.4: Another figure

Hz	uA
100	49
200	40
300	35
400	32
500	30
600	29
700	28
800	27
900	27
1000	27
2000	24
3000	21
4000	19
5000	17
6000	14
7000	12
8000	10
9000	7
10000	5
20000	0

Tabel 4.1: Student Database

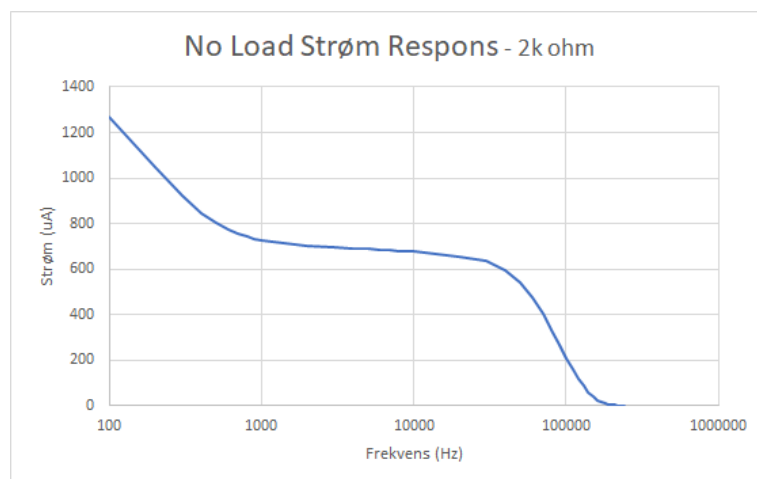


Figur 4.5: 2-D scatterplot of the Student Database

Det modificeret kredsløb

Hz	uA
100	1268
200	1051
300	920
400	845
500	802
600	775
700	756
800	744
900	735
1000	728
2000	703
3000	696
4000	692
5000	688
6000	685
7000	683
8000	680
9000	678
10000	676
20000	675
30000	634
40000	596
50000	542
60000	475
70000	405
80000	332
90000	268
100000	210
110000	161
120000	120
130000	87
140000	60
150000	40
160000	25
170000	16
180000	10
190000	6
200000	4
210000	2
220000	1
230000	1
240000	0

Tabel 4.2: Student Database



Figur 4.6: 2-D scatterplot of the Student Database

Overvejelser om mulige løsninger løsninger I har valgt, begrundelsen herfor grundlæggende valg af hardware- og softwaremæssige komponenter, som er kritiske for realisering af

systemet

For at træffe et valg kan der analyseres og diskuteres forskellige løsninger mht. til ydeev-ne, pris, leveringstid og forhåndskendskab. Disse kan med fordel opstilles i tabelform.

Anti-alisering Elektroder Konstant strøm Lavpas filtering Ensretter Sampling af signal [?

# Konklusion 5

---

# Litteratur

---

- [1] Kevin R. Aroom, Matthew T. Harting, Charles S. Cox, Ravi S. Radharkrishnan, Carter Smith, and Brijesh S. Gill. Bioimpedance Analysis: A Guide to Simple Design and Implementation. *Journal of Surgical Research*, 153(1):23–30, 2009.
- [2] T Kusuhara, T Nakamura, Y Shirakawa, K Mori, Y Naomoto, and Y Yamamoto. Impedance pharyngography to assess swallowing function. *The Journal of international medical research*, 32(6):608–16, 2004.